

図-6.3.23 CH-53の飛行時におけるピーク騒音レベル (LAmax) 予測コンター (23方向離陸)

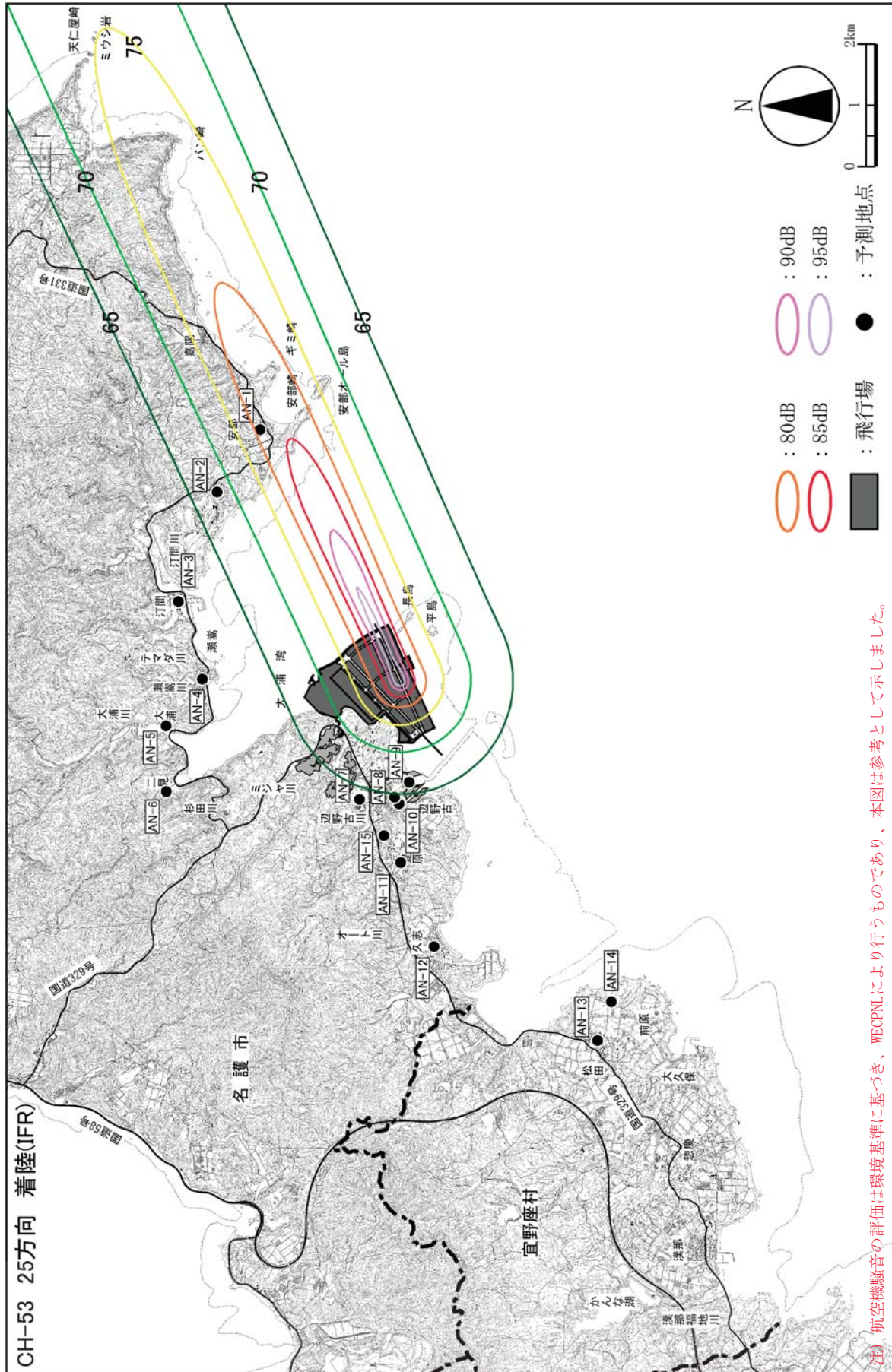


図-6.3.25 CH-53 の飛行時におけるピーク騒音レベル (L_{Amax}) 予測コンター (25 方向着陸 (IFR))

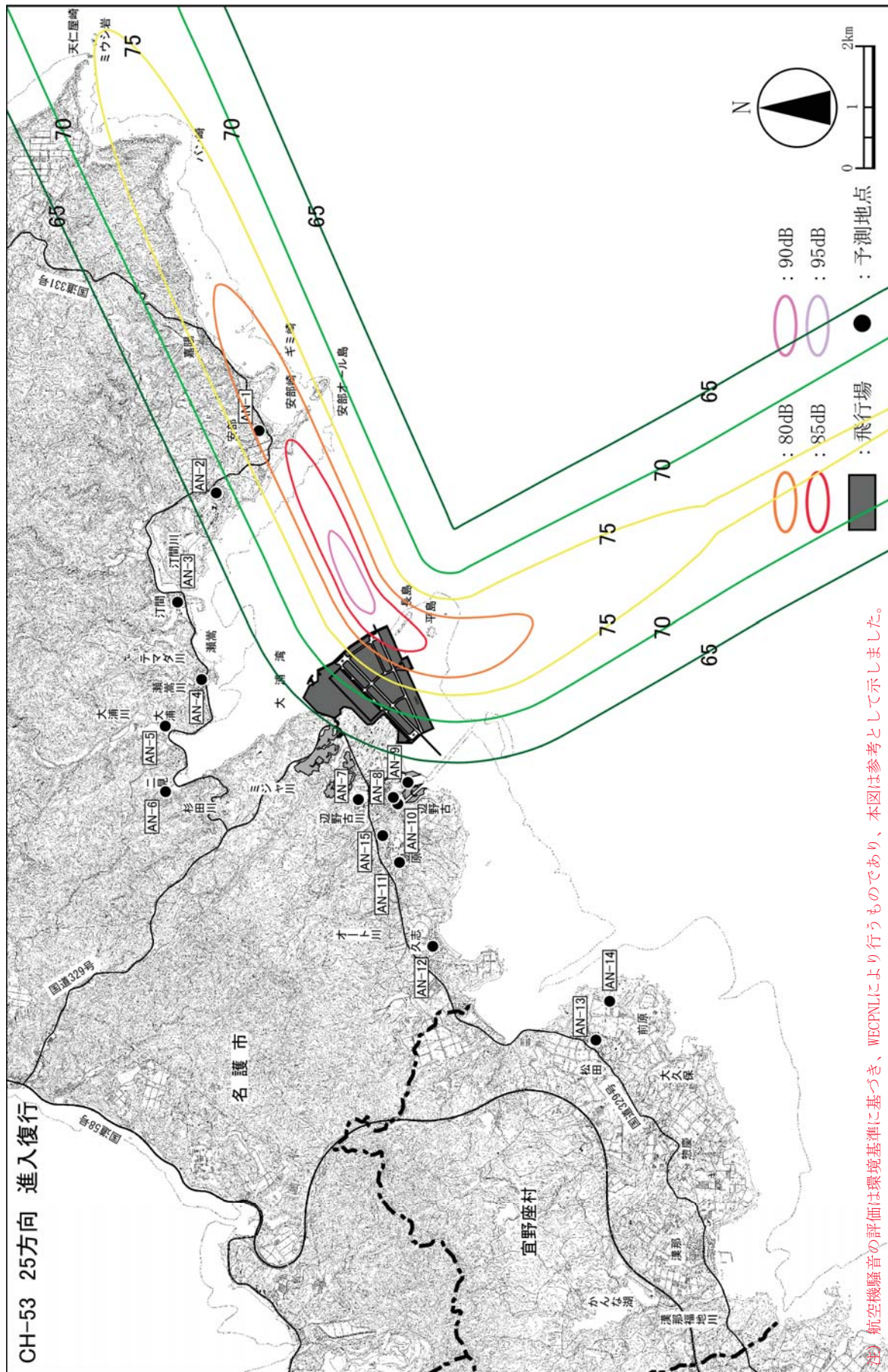


図-6.3.27 CH-53 の飛行時におけるピーク騒音レベル (L_{Amax}) 予測コンター (25 方向進入復行)

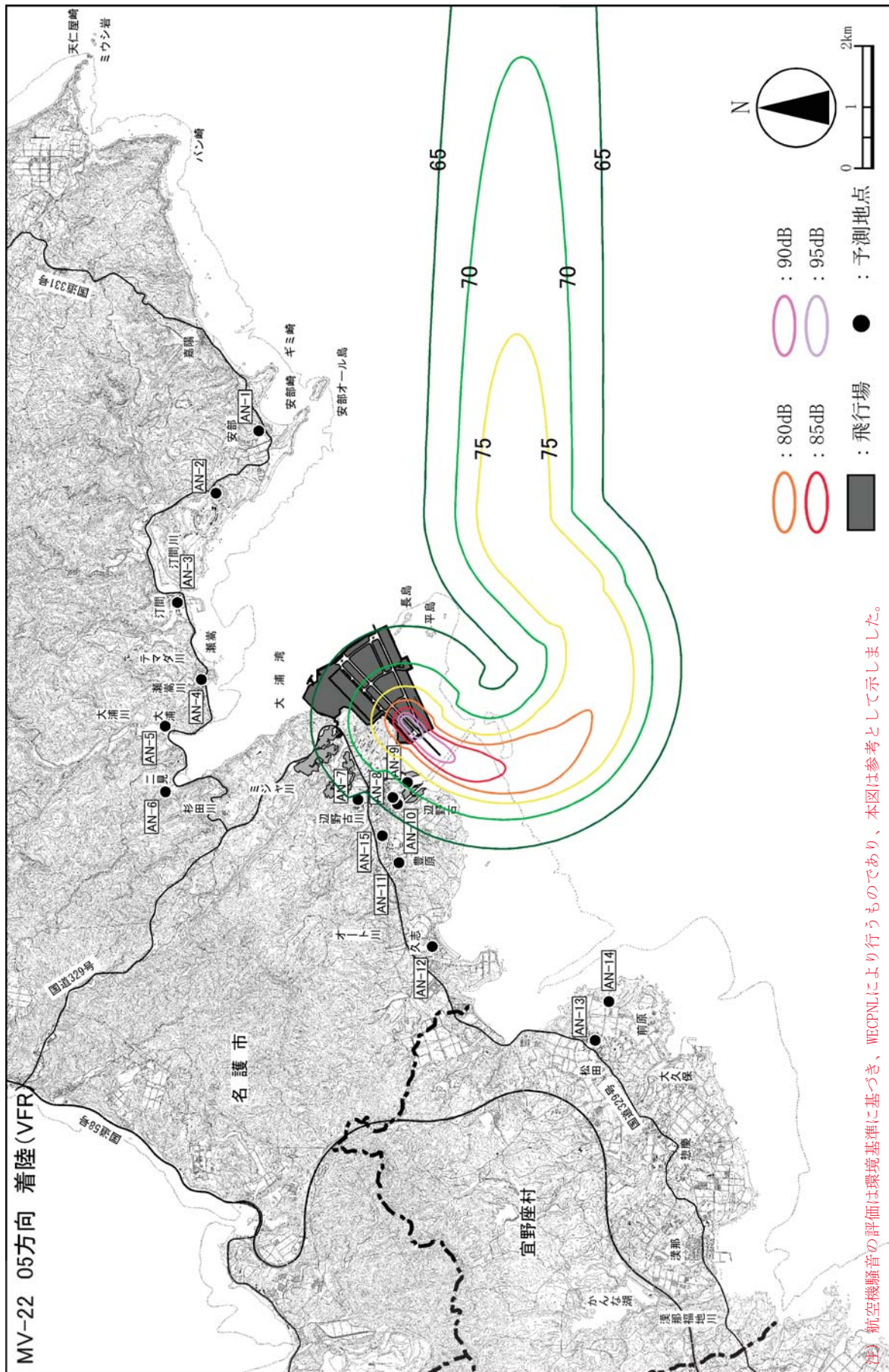


図-6.3.29 MV-22 の飛行時におけるピーク騒音レベル (L_{Amax}) 予測コンター (05 方向着陸 (VFR))

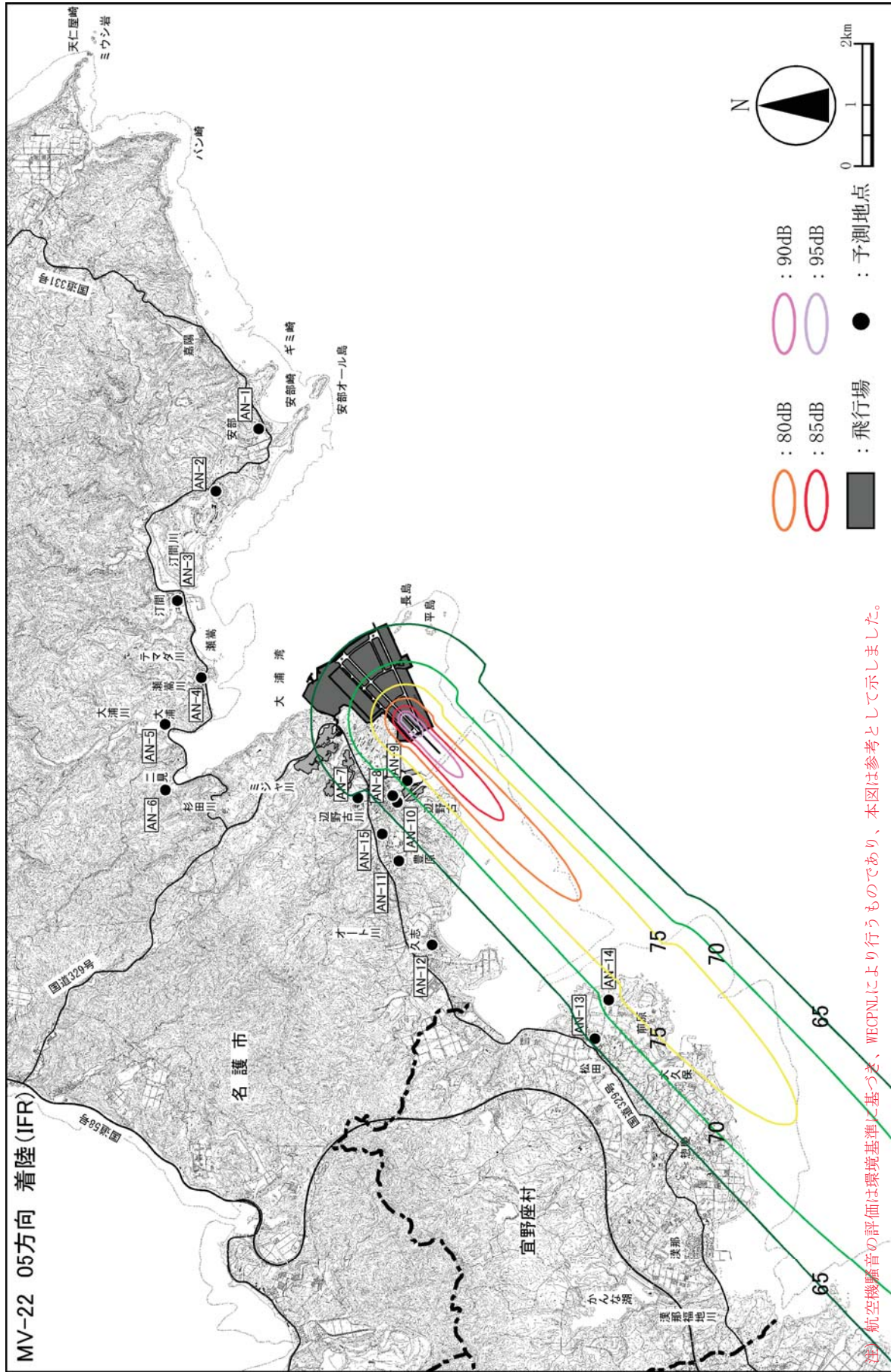


図-6.3.30 MV-22 の飛行時におけるピーク騒音レベル (L_{Amax}) 予測コンター (05 方向着陸 (IFR))

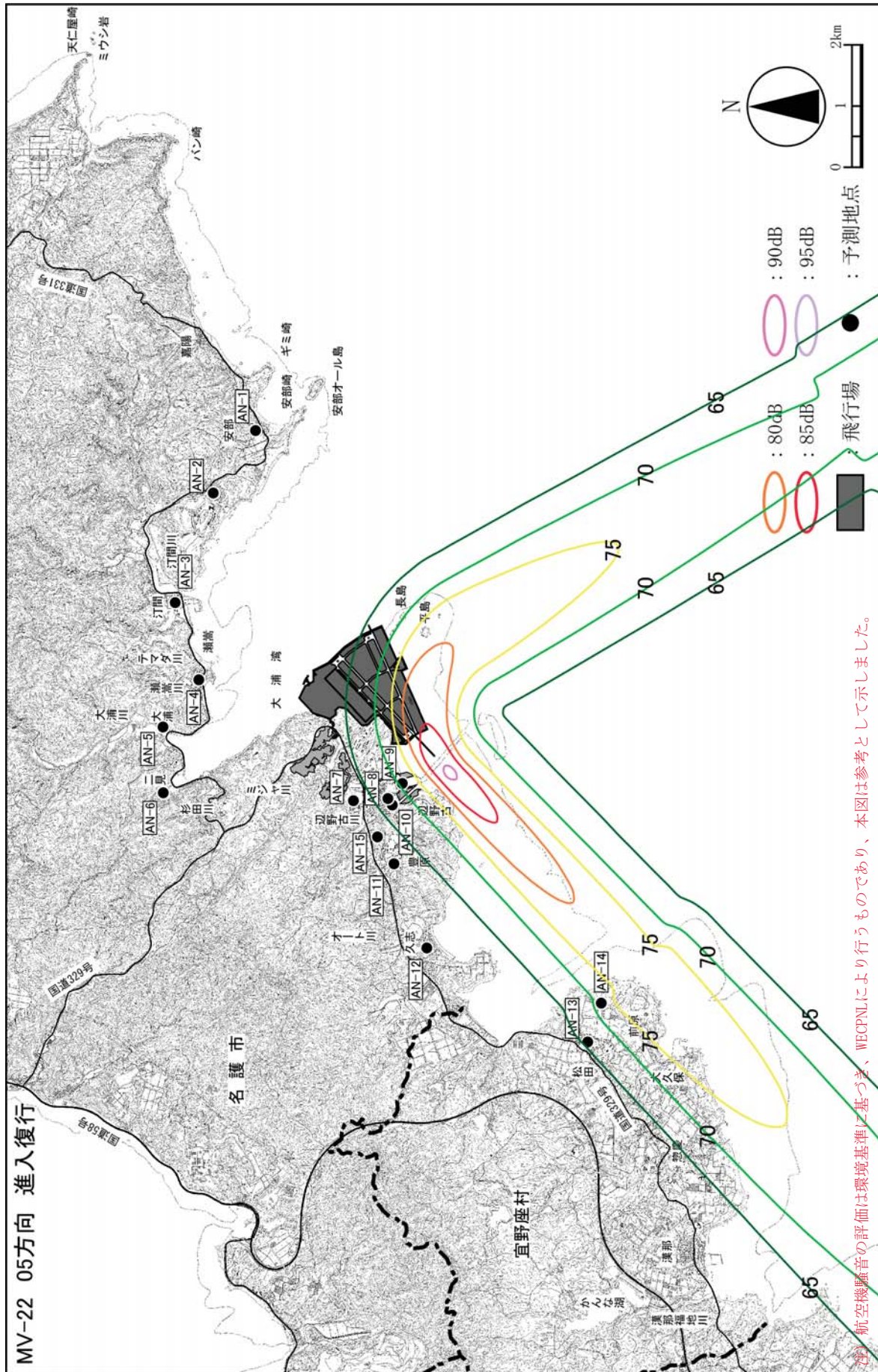


図-6.3.32 MV-22 の飛行時におけるピーク騒音レベル (LAmax) 予測コンター (05 方向進入復行)

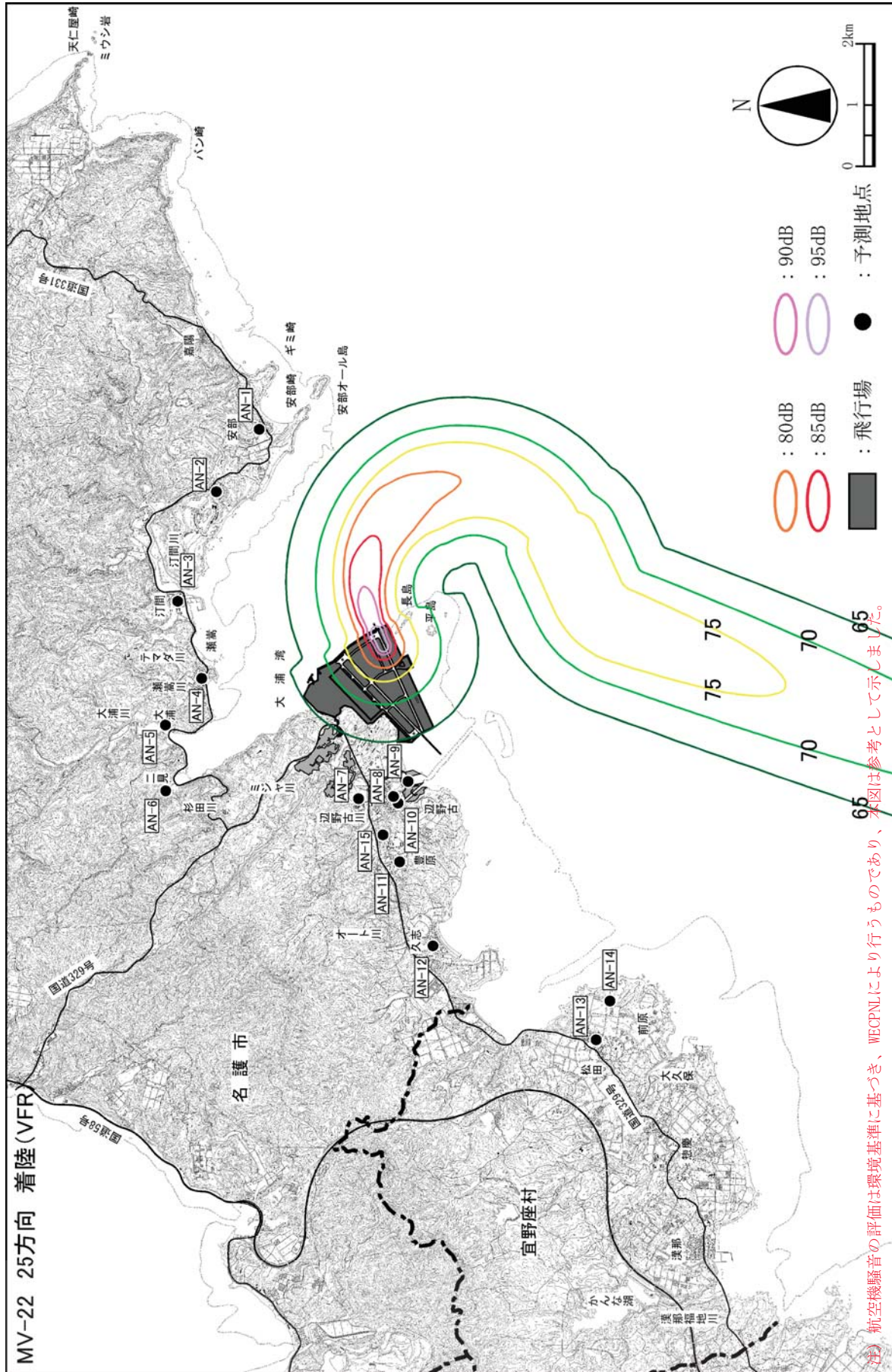


図-6.3.34 MV-22 の飛行時におけるピーク騒音レベル (L_{Amax}) 予測コンター (25 方向着陸 (VFR))

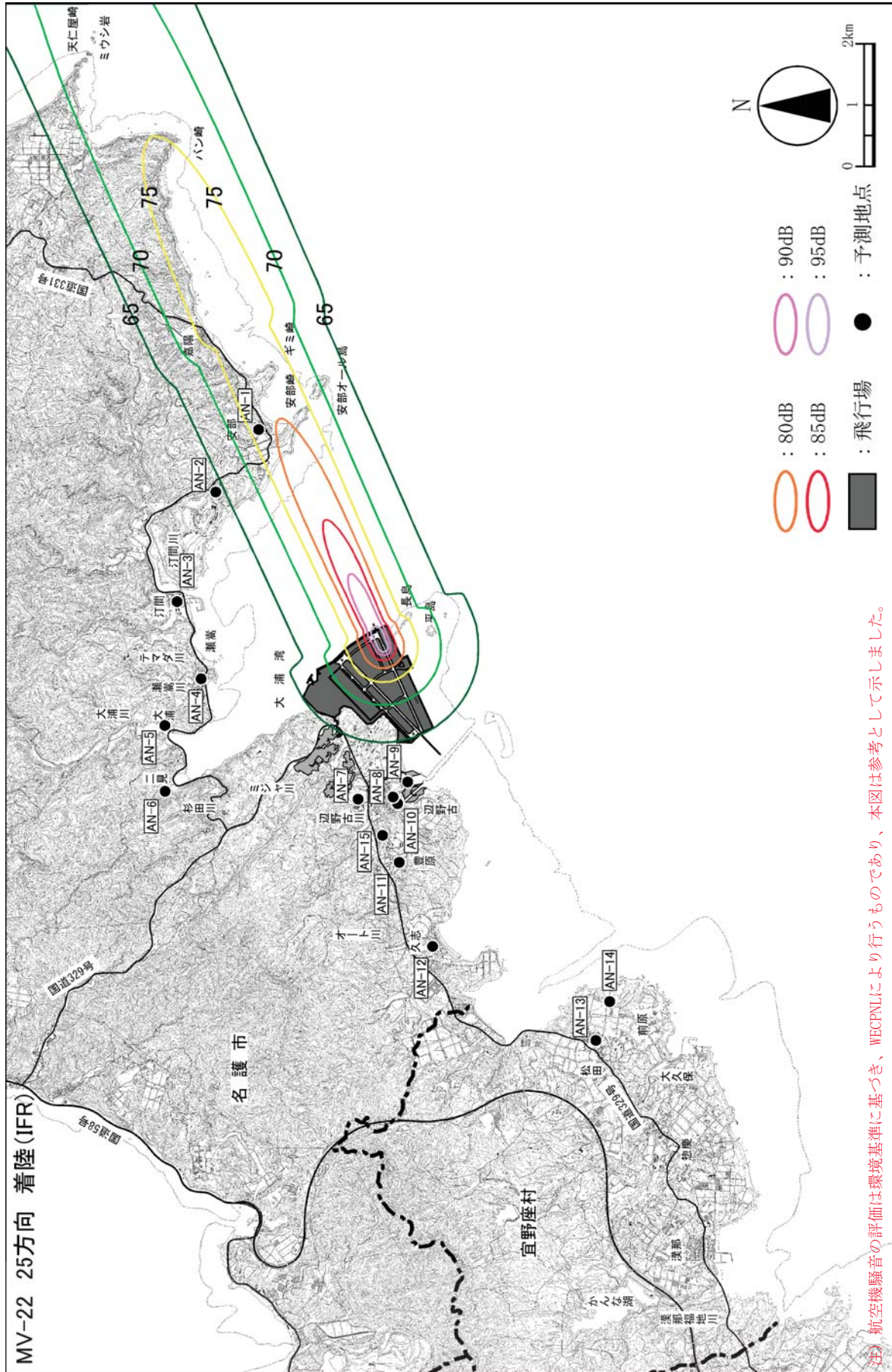


図-6.3.35 MV-22 の飛行時におけるピーク騒音レベル (L_{Amax}) 予測コンター (25 方向着陸 (IFR))

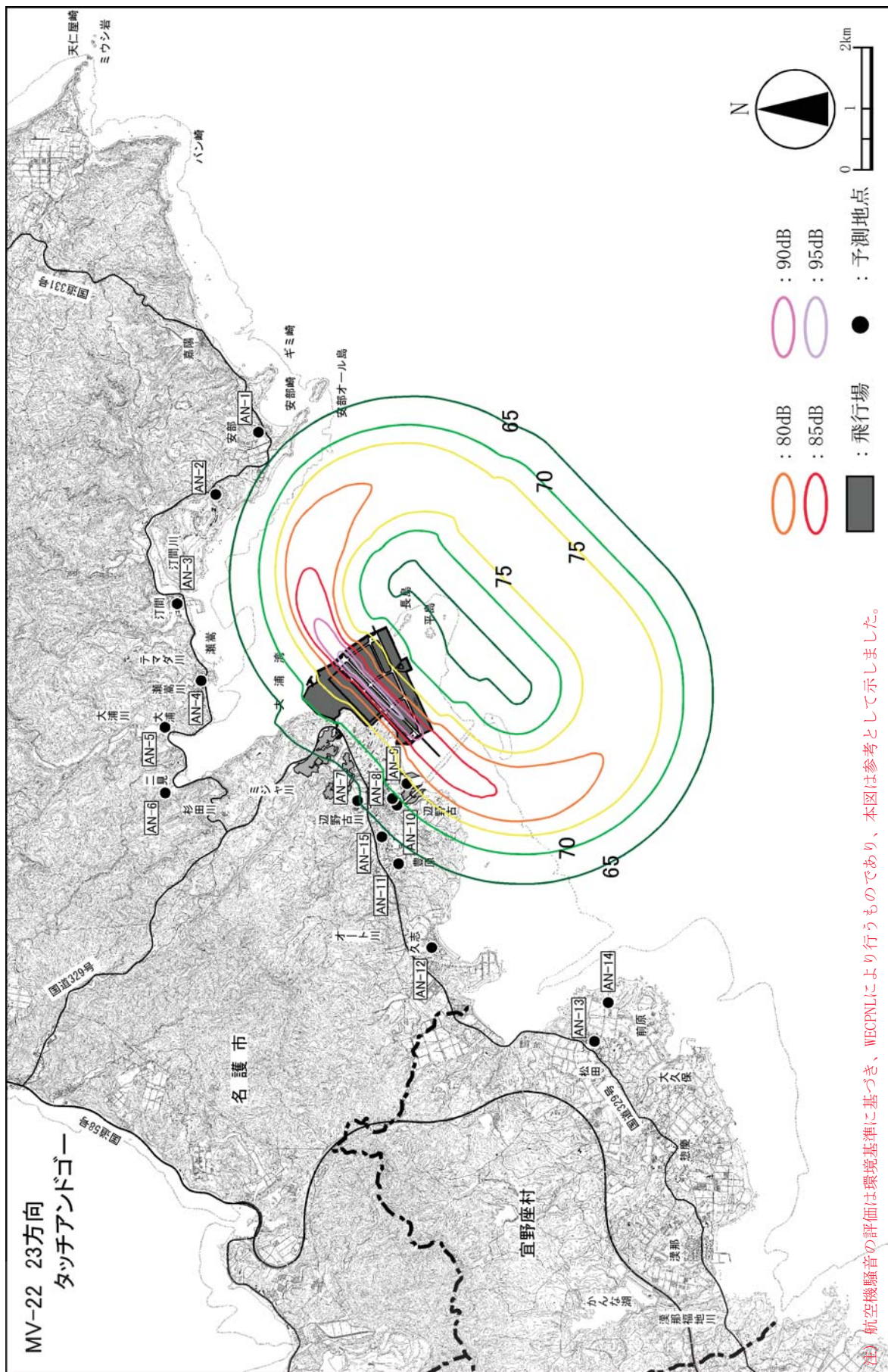


図-6.3.36 MV-22 の飛行時におけるピーク騒音レベル (L_{Amax}) 予測コンター (23 方向タッチアンドゴー)